

МОДЕЛИРОВАНИЕ ПУСКА СИНХРОННЫХ ВЫСОКОВОЛЬТНЫХ ДВИГАТЕЛЕЙ ПРЯМЫМ ВКЛЮЧЕНИЕМ В СЕТЬ С ПОМОЩЬЮ ПАКЕТА MATLAB SIMULINK

А. А. Рогов

*Гомельский государственный технический университет
имени П. О. Сухого, Беларусь*

Научный руководитель О. Г. Широков

Используемые в настоящее время средства расчета режимов работы электроэнергетических систем не позволяет рассчитать сложной и изменяющейся системы. Применения пакета MatLab Simulink позволяет строить довольно сложные системы. В MatLab Simulink имеются разделы с готовыми блоками. Каждый блок - это какое-то устройство или элемент, описанный системой аналитических уравнений.

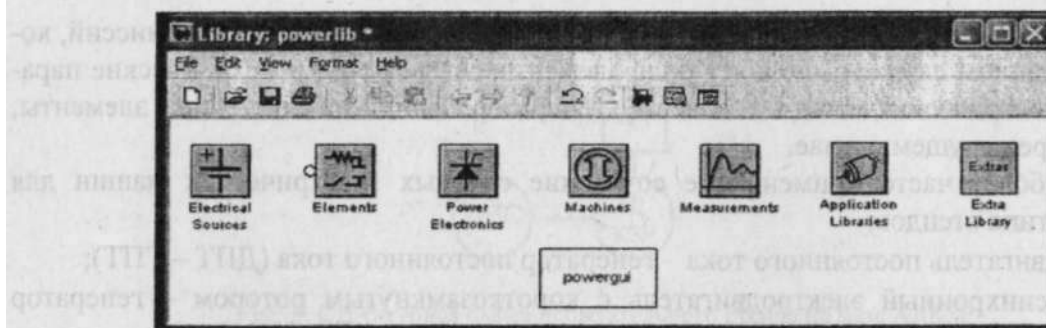


Рис. 1. Основные разделы MatLab Simulink SimPowerSystem

Так как все элементы представлены в виде готовых блоков, то можно очень легко создавать сложные электроэнергетические системы. Так же несомненным плюсом использования данного пакета является визуальное наблюдение процессов, протекающих в моделируемом объекте.

Целью работы является расчет параметров схемы замещения и построение модели и сравнение расчетных характеристик с измеренными.

В ходе выполнения работы необходимо получить пусковые характеристики высоковольтного синхронного двигателя и сравнить их с имеющимися реальными осциллограммами.

С помощью пакета MatLab Simulink построили модель высоковольтного двигателя, представленного на рис. 2.

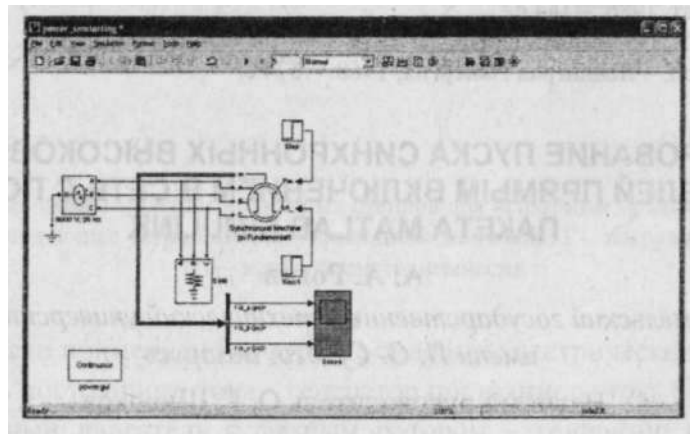


Рис. 2. Модель высоковольтного двигателя

Для построения модели рассчитали параметры схемы замещения синхронного двигателя, представленные системой дифференциальных уравнений 6-го порядка.

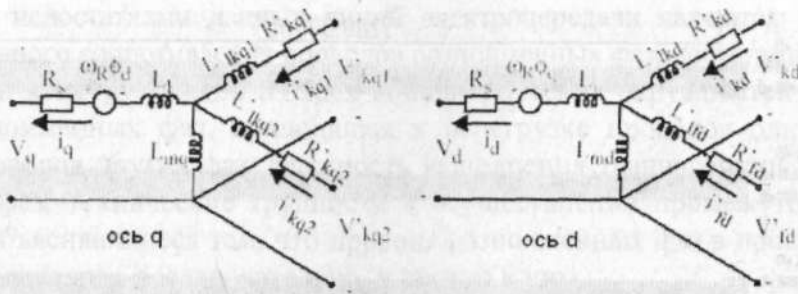


Рис. 3. Схема замещения синхронного двигателя: d, q – проекции переменных на оси d и q ; R, s – параметры ротора и статора; l, m – индуктивности рассеяния и цепи намагничивания; f, k – переменные цепи возбуждения и демпферной обмотки

$$V_d = R_d i_d + \frac{d}{dt} \varphi_d - \omega_R \varphi_q, \quad V_q = R_q i_q + \frac{d}{dt} \varphi_q - \omega_R \varphi_d, \quad V_{fd}' = R_{fd}' i_{fd}' + \frac{d}{dt} \varphi_{fd}', \quad V_{kd}' = R_{kd}' i_{kd}' + \frac{d}{dt} \varphi_{kd}',$$

$$V_{kq1}' = R_{kq1}' i_{kq1}' + \frac{d}{dt} \varphi_{kq1}', \quad V_{kq2}' = R_{kq2}' i_{kq2}' + \frac{d}{dt} \varphi_{kq2}',$$

где

$$\varphi_d = L_d i_d + L_{md}(i_{fd}' + i_{kd}'), \quad \varphi_q = L_q i_q + L_{mq} i_{kq}, \quad \varphi_{fd}' = L_{fd}' i_{fd}' + L_{md}(i_d + i_{kd}'),$$

$$\varphi_{kd}' = L_{kd}' i_{kd}' + L_{md}(i_d + i_{fd}'), \quad \varphi_{kq1}' = L_{kq1}' i_{kq1}' + L_{mq} i_q, \quad \varphi_{kq2}' = L_{kq2}' i_{kq2}' + L_{mq} i_q.$$

Задавшись временем моделирования 5 секунд, получили пусковые характеристики модели синхронного двигателя

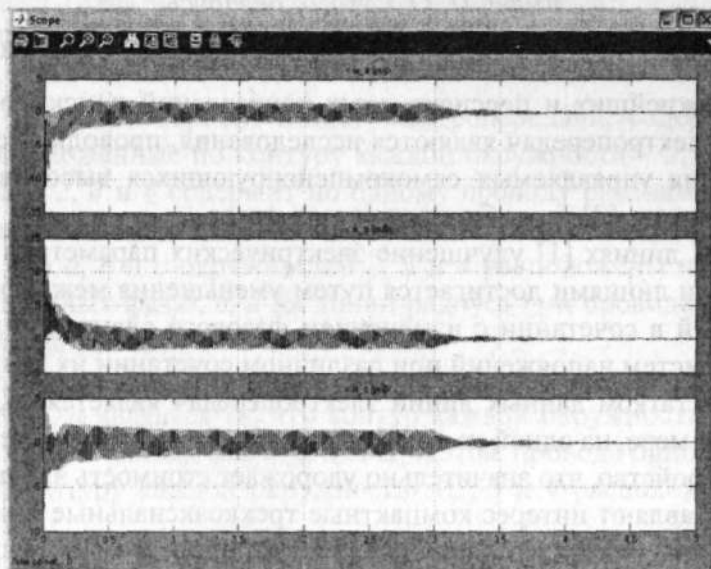


Рис. 4. Пусковые характеристики модели высоковольтного синхронного двигателя

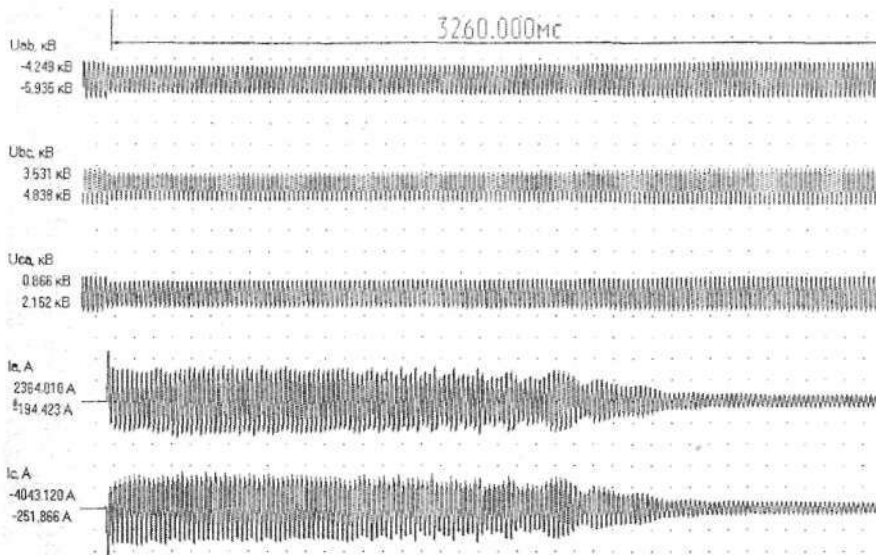


Рис. 5. Осциллограммы пуска синхронного двигателя СТД-5000-2

Сравнивая полученные пусковые характеристики синхронного двигателя с имеющимися реальными осциллограммами, можно сделать вывод, что данный способ приемлем для анализа процессов и режимов, протекающих в моделируемых устройствах, так как погрешность построенных характеристик не превышает 30 %. При использовании более точных методов расчета схемы замещения можно значительно уменьшить величину погрешности.